

LMK1D120x 低附加抖动 LVDS 缓冲器

1 特性

- 具有 2 路输入和 4 路输出 (2:4) 或 8 路输出 (2:8) 的高性能 LVDS 时钟缓冲器系列。
- 输出频率最高可达 2GHz。
- 电源电压：1.71V 至 3.465V
- 低附加抖动：156.25MHz 时小于 12kHz 至 20MHz 范围内的 60fs RMS 最大值
 - 超低相位本底噪声：-164dBc/Hz (典型值)
- 超低传播延迟：最大值小于 575ps
- 输出偏斜：20ps (最大值)
- 通用输入接受 LVDS、LVPECL、LVCMOS、LP-HCSL、HCSL 和 CML 输入
- LVDS 基准电压 (V_{AC_REF}) 适用于容性耦合输入
- 工业温度范围：-40°C 至 105°C
- 可用封装：
 - LMK1D1204：3mm × 3mm，16 引脚 VQFN 封装 (RGT)
 - LMK1D1208：5mm × 5mm，28 引脚 VQFN 封装 (RHD)

2 应用

- [电信及网络](#)
- [医疗成像](#)
- [测试和测量](#)
- [无线基础设施](#)
- [专业音频、视频和标牌](#)

3 说明

LMK1D120x 时钟缓冲器能够以超低的时钟分配偏斜，将两个可选时钟输入 (IN0 和 IN1) 之一分配给 4 或 8 对差分 LVDS 时钟输出 (OUT0 至 OUT7)。LMK1D12xx 系列可接受两个时钟源传入一个输入多路复用器。输入可以为 LVDS、LVPECL、LP-HCSL、HCSL、CML 或 LVCMOS。

LMK1D12xx 专为驱动 50 Ω 传输线路而设计。在以单端模式驱动输入的情况下，必须将图 8-6 中所示的适当偏置电压施加到未使用的负输入引脚。

IN_SEL 引脚用于选择要发送到输出的输入。如果该引脚保持开路，该引脚会禁用输出 (逻辑低电平)。该器件支持失效防护功能。该器件还整合了输入迟滞，可防止在没有输入信号的情况下输出随机振荡。

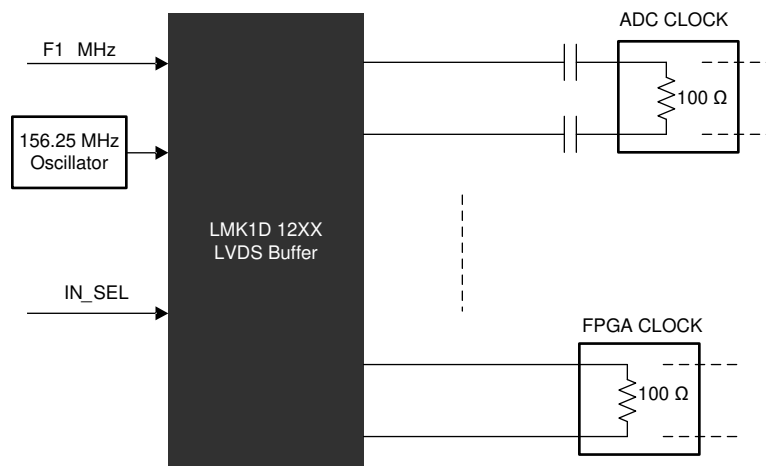
该器件可在 1.8V 或 2.5V 或 3.3V 电源环境下工作，额定温度范围是 -40°C 至 105°C (环境温度)。下表中显示了 LMK1D12xx 封装类型：

封装信息

器件型号	封装 ⁽¹⁾	封装尺寸 ⁽²⁾
LMK1D1204	VQFN (16)	3.00mm × 3.00mm
LMK1D1208	VQFN (28)	5.00mm × 5.00mm

(1) 如需了解所有可用封装，请参阅数据表末尾的可订购产品附录。

(2) 封装尺寸 (长 × 宽) 为标称值，并包括引脚 (如适用)。



应用示例



内容

1 特性	1	8.3 特性说明.....	16
2 应用	1	8.4 器件功能模式.....	17
3 说明	1	9 应用和实施	19
4 器件比较	3	9.1 应用信息.....	19
4.1 器件比较.....	3	9.2 典型应用.....	19
5 引脚配置和功能	6	9.3 电源相关建议.....	22
6 规格	8	9.4 布局.....	23
6.1 绝对最大额定值.....	8	10 器件和文档支持	25
6.2 ESD 等级.....	8	10.1 文档支持.....	25
6.3 建议运行条件.....	8	10.2 接收文档更新通知.....	25
6.4 热性能信息.....	9	10.3 支持资源.....	25
6.5 电气特性.....	9	10.4 商标.....	25
6.6 典型特性.....	13	10.5 静电放电警告.....	25
7 参数测量信息	14	10.6 术语表.....	25
8 详细说明	16	11 修订历史记录	25
8.1 概述.....	16	12 机械、封装和可订购信息	25
8.2 功能方框图.....	16		

4 器件比较

表 4-1. 器件比较

器件	器件类型	特性	输出摆幅	输出共模	封装	封装尺寸
LMK1D2108M	双通道 1:8	通过引脚控制进行全局输出启用和摆幅控制	350mV	1.2V	VQFN (48)	7.00mm × 7.00mm
			500mV	1V		
LMK1D2106M	双通道 1:6	通过引脚控制进行全局输出启用和摆幅控制	350mV	1.2V	VQFN (40)	6.00mm × 6.00mm
			500mV	1V		
LMK1D2104M	双通道 1:4	通过引脚控制进行全局输出启用和摆幅控制	350mV	1.2V	VQFN (28)	5.00mm × 5.00mm
LMK1D2102M	双通道 1:2	通过引脚控制进行全局输出启用和摆幅控制	350mV	1.2V	VQFN (16)	3.00mm × 3.00mm
LMK1D1216M	02:16	通过引脚控制进行全局输出启用控制	350mV	1.2V	VQFN (48)	7.00mm × 7.00mm
			500mV	1V		
LMK1D1212M	02:12	通过引脚控制进行全局输出启用控制	350mV	1.2V	VQFN (40)	6.00mm × 6.00mm
			500mV	1V		
LMK1D1208PM	2:8	通过引脚控制进行单个输出启用	350mV	1.2V	VQFN (40)	6.00mm × 6.00mm
			500mV	1V		
LMK1D1208	2:8	通过引脚控制进行全局输出启用控制	350mV	1.2V	VQFN (28)	5.00mm × 5.00mm
LMK1D1204PM	2:4	通过引脚控制进行单个输出	350mV	1.2V	VQFN (28)	5.00mm × 5.00mm
LMK1D1204	2:4	通过引脚控制进行全局输出启用控制	350mV	1.2V	VQFN (16)	3.00mm × 3.00mm

4.1 器件比较

表 4-2. 器件比较

器件	器件类型	特性	输出摆幅	输出共模	封装	封装尺寸
LMK1D2102L	双通道 1:2	全局输出组启用和摆幅控制引脚。	350mV	0.7V ⁽²⁾	VQFN (16)	3.00mm × 3.00mm
				1.2V		
			500mV	0.7V ⁽²⁾		
1V						
LMK1D2104L	双通道 1:4	全局输出组启用和摆幅控制引脚。	350mV	0.7V ⁽²⁾	VQFN (28)	5.00mm × 5.00mm
				1.2V		
			500mV	0.7V ⁽²⁾		
1V						
LMK1D2106L	双通道 1:6	单个输出组启用和摆幅控制引脚。	350mV	0.7V ⁽²⁾	VQFN (40)	6.00mm × 6.00mm
				1.2V		
			500mV	0.7V ⁽²⁾		
1V						
LMK1D2108L	双通道 1:6	单个输出组启用和摆幅控制引脚。	350mV	0.7V ⁽²⁾	VQFN (48)	7.00mm × 7.00mm
				1.2V		
			500mV	0.7V ⁽²⁾		
1V						
LMK1D2102	双通道 1:2	通过引脚控制进行全局输出启用控制	350mV	1.2V	VQFN (16)	3.00mm × 3.00mm

表 4-2. 器件比较 (续)

器件	器件类型	特性	输出摆幅	输出共模	封装	封装尺寸
LMK1D2104	双通道 1:4	通过引脚控制进行全局输出启用控制	350mV	1.2V	VQFN (28)	5.00mm × 5.00mm
LMK1D2106	双通道 1:6	通过引脚控制进行全局输出启用和摆幅控制	350mV	1.2V	VQFN (40)	6.00mm × 6.00mm
			500mV	1V		
LMK1D2108	双通道 1:8	通过引脚控制进行全局输出启用和摆幅控制	350mV	1.2V	VQFN (48)	7.00mm × 7.00mm
			500mV	1V		
LMK1D1204	2:4	通过引脚控制进行全局时钟输入选择和输出启用控制	350mV	1.2V	VQFN (16)	3.00mm × 3.00mm
LMK1D1204P	2:4	通过引脚控制进行单个输出启用控制	350mV	1.2V	VQFN (28)	5.00mm × 5.00mm
LMK1D1208	2:8	通过引脚控制进行全局时钟输入选择和输出启用控制	350mV	1.2V	VQFN (28)	5.00mm × 5.00mm
LMK1D1208P	2:8	通过引脚控制进行单个输出启用控制	350mV	1.2V	VQFN (40)	6.00mm × 6.00mm
			500mV	1V		
LMK1D1208I	2:8	通过 I ² C 进行单个输出启用、摆幅、组和时钟输入选择控制	350mV	1.2V	VQFN (40)	6.00mm × 6.00mm
			500mV	1V		
LMK1D1212	02:12	通过引脚控制进行全局输出启用和摆幅控制	350mV	1.2V	VQFN (40)	6.00mm × 6.00mm
			500mV	1V		
LMK1D1216	02:16	通过引脚控制进行全局输出启用和摆幅控制	350mV	1.2V	VQFN (48)	7.00mm × 7.00mm
			500mV	1V		
LMK1D1204I ⁽¹⁾	2:4	通过 I ² C 进行单个输出启用、摆幅、组和时钟输入选择控制	350mV	1.2V	VQFN (16)	3.00mm × 3.00mm
			500mV	1V		
LMK1D1212I ⁽¹⁾	02:12	通过 I ² C 进行单个输出启用、摆幅、组和时钟输入选择控制	350mV	1.2V	VQFN (40)	6.00mm × 6.00mm
			500mV	1V		
LMK1D1216I ⁽¹⁾	02:16	通过 I ² C 进行单个输出启用、摆幅、组和时钟输入选择控制	350mV	1.2V	VQFN (48)	7.00mm × 7.00mm
			500mV	1V		
LMK1D1204L ⁽¹⁾	2:4	全局输出组启用和摆幅控制引脚。	350mV	0.7V ⁽²⁾	VQFN (16)	3.00mm × 3.00mm
				1.2V		
LMK1D1208L ⁽¹⁾	2:8	全局输出组启用和摆幅控制引脚。	350mV	0.7V ⁽²⁾	VQFN (28)	5.00mm × 5.00mm
				1.2V		
LMK1D1208PL ⁽¹⁾	2:8	通过引脚控制进行单个输出启用控制	350mV	0.7V ⁽²⁾	VQFN (40)	6.00mm × 6.00mm
				1.2V		
			500mV	0.7V ⁽²⁾		
				1V		
LMK1D1212L ⁽¹⁾	02:12	单个输出组启用和摆幅控制引脚。	350mV	0.7V ⁽²⁾	VQFN (40)	6.00mm × 6.00mm
				1.2V		
			500mV	0.7V ⁽²⁾		
				1V		
LMK1D1216L ⁽¹⁾	02:16	单个输出组启用和摆幅控制引脚。	350mV	0.7V ⁽²⁾	VQFN (48)	7.00mm × 7.00mm
				1.2V		
			500mV	0.7V ⁽²⁾		
				1V		

表 4-2. 器件比较 (续)

器件	器件类型	特性	输出摆幅	输出共模	封装	封装尺寸
LMK1D1212IL ⁽¹⁾	02:12	通过 I ² C 进行单个输出启用、摆幅、组和时钟输入选择控制	350mV	0.7V ⁽²⁾	VQFN (40)	6.00mm × 6.00mm
				1V		
			500mV	0.7V ⁽²⁾		
				1V		
LMK1D1216IL ⁽¹⁾	02:16	通过 I ² C 进行单个输出启用、摆幅、组和时钟输入选择控制	350mV	0.7V ⁽²⁾	VQFN (48)	7.00mm × 7.00mm
				1.2V		
			500mV	0.7V ⁽²⁾		
				1V		

(1) 请联系 TI 获取有关该器件的更多信息。

(2) 0.7V 输出共模只在 $VDD = 1.8V \pm 5\%$ 时受支持。

5 引脚配置和功能

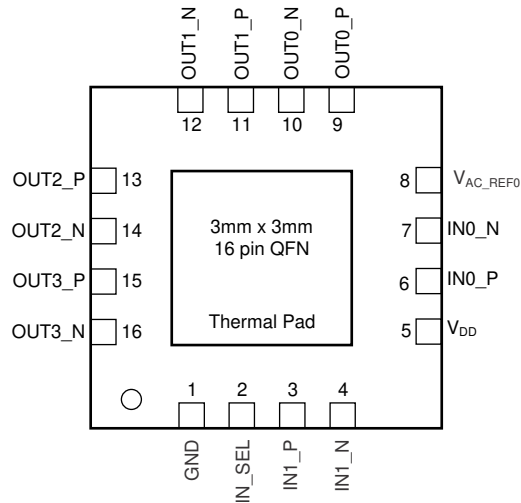


图 5-1. LMK1D1204 : RGT 封装 16 引脚 VQFN 顶视图

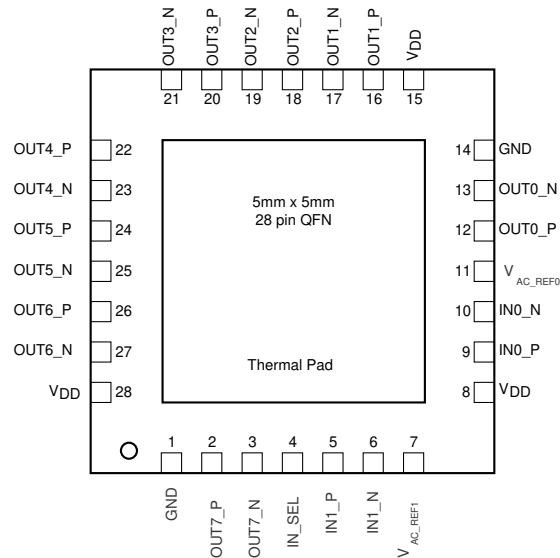


图 5-2. LMK1D1208 : RHD 封装 28 引脚 VQFN 顶视图

表 5-1. 引脚功能

名称	引脚		类型 ⁽¹⁾	说明
	LMK1D1204	LMK1D1208		
差分/单端时钟输入				
IN0_P	6	9	I	初级：差分输入对或单端输入
IN0_N	7	10		
IN1_P	3	5	I	次级：差分输入对或单端输入。 请注意，INP0、INN0 与 IN0_P、IN0_N 可以互换使用，没有任何区别。
IN1_N	4	6		
输入选择				
IN_SEL	2	4	I	通过内部 500k Ω 上拉电阻器和 320k Ω 下拉电阻器进行输入选择，选择输入端口；(请参阅表 8-1)

表 5-1. 引脚功能 (续)

引脚			类型 ⁽¹⁾	说明
名称	LMK1D1204	LMK1D1208		
偏置电压输出				
V _{AC_REF0}	8	11	O	容性耦合输入的偏置电压输出。如果使用, TI 建议在该引脚上使用连接到 GND 的 0.1μF 电容器。
V _{AC_REF1}	—	7		
差分时钟输出				
OUT0_P	9	12	O	编号为 0 的差分 LVDS 输出对
OUT0_N	10	13		
OUT1_P	11	16	O	编号为 1 的差分 LVDS 输出对
OUT1_N	12	17		
OUT2_P	13	18	O	编号为 2 的差分 LVDS 输出对
OUT2_N	14	19		
OUT3_P	15	20	O	编号为 3 的差分 LVDS 输出对
OUT3_N	16	21		
OUT4_P	—	22	O	编号为 4 的差分 LVDS 输出对
OUT4_N		23		
OUT5_P	—	24	O	编号为 5 的差分 LVDS 输出对
OUT5_N		25		
OUT6_P	—	26	O	编号为 6 的差分 LVDS 输出对
OUT6_N		27		
OUT7_P	—	2	O	编号为 7 的差分 LVDS 输出对
OUT7_N		3		
电源电压				
V _{DD}	5	8	P	器件电源 (1.8V、2.5V 或 3.3V)
		15		
		28		
接地				
GND	1	1	G	接地
	—	14		
其他				
DAP	DAP	DAP	GND	裸片连接焊盘连接到 PCB 接地平面以实现散热。
NC	—	—	NC	无连接

(1) G = 地, I = 输入, O = 输出, P = 电源

6 规格

6.1 绝对最大额定值

在自然通风条件下的工作温度范围内测得 (除非另有说明) ⁽¹⁾

		最小值	最大值	单位
V _{DD}	电源电压	-0.3	3.6	V
V _{IN}	输入电压	-0.3	3.6	V
V _O	输出电压	-0.3	V _{DD} + 0.3	V
I _{IN}	输入电流	-20	20	mA
I _O	持续输出电流	-50	50	mA
T _J	结温		135	°C
T _{stg}	贮存温度 ⁽²⁾	-65	150	°C

(1) 超出绝对最大额定值范围操作可能会导致器件永久损坏。绝对最大额定值并不表示器件在这些条件下或在建议的工作条件以外的任何其他条件下能够正常运行。如果超出建议运行条件但在绝对最大额定值范围内使用, 器件可能不会完全正常运行, 这可能影响器件的可靠性、功能和性能并缩短器件寿命。

(2) 器件未通电

6.2 ESD 等级

			值	单位
V _(ESD)	静电放电	人体放电模型 (HBM), 符合 ANSI/ESDA/JEDEC JS-001 标准, 所有引脚 ⁽¹⁾	±3000	V
		充电器件模型 (CDM), 符合 JEDEC 规范 JESD22C101, 所有引脚 ⁽²⁾	±1000	

(1) JEDEC 文档 JEP155 指出: 500V HBM 时能够在标准 ESD 控制流程下安全生产。

(2) JEDEC 文档 JEP157 指出: 250V CDM 时能够在标准 ESD 控制流程下安全生产。

6.3 建议运行条件

在自然通风条件下的工作温度范围内测得 (除非另有说明)

			最小值	标称值	最大值	单位	
V _{DD}	内核电源电压	3.3V 电源	3.135	3.3	3.465	V	
		2.5V 电源	2.375	2.5	2.625		
		1.8V 电源	1.71	1.8	1.89		
电源斜坡	电源电压斜坡	需要单调斜坡 (V _{DD} 的 10-90%)			0.1	20	ms
T _A	自然通风条件下的工作温度				-40	105	°C
T _J	工作结温				-40	135	°C

6.4 热性能信息

热指标 ⁽¹⁾		LMK1D1204	LMK1D1208	单位
		VQFN	VQFN	
		16 引脚	28 引脚	
R _{θJA}	结至环境热阻	48.7	38.9	°C/W
R _{θJC(top)}	结至外壳 (顶部) 热阻	56.4	32.1	°C/W
R _{θJB}	结至电路板热阻	23.6	18.7	°C/W
Ψ _{JT}	结至顶部特征参数	1.6	1	°C/W
Ψ _{JB}	结至电路板特征参数	23.6	18.7	°C/W
R _{θJC(bot)}	结至外壳 (底部) 热阻	8.6	8.2	°C/W

(1) 有关新旧热指标的更多信息, 请参阅 [半导体和 IC 封装热指标应用手册](#)。

6.5 电气特性

VDD = 1.8V、2.5V、3.3V ± 5%, -40°C ≤ T_A ≤ 105°C。典型值是 VDD = 1.8V、2.5V、3.3V、25°C 条件下的值 (除非另有说明)

参数		测试条件	最小值	典型值	最大值	单位
电源特性						
IDD _{STAT}	LMK1D1204	所有输出均已启用且未端接, f = 0Hz		50		mA
IDD _{STAT}	LMK1D1208	所有输出均已启用且未端接, f = 0Hz		55		mA
IDD _{100M}	LMK1D1204	所有输出均已启用, R _L = 100 Ω, f = 100MHz		60	72	mA
IDD _{100M}	LMK1D1208	所有输出均已启用, R _L = 100 Ω, f = 100MHz		78	95	mA
Vd _{I3}	三态输入	开路		0.4 × V _{CC}		V
V _{IH}	输入高电压	逻辑“1”状态的最小输入电压	0.7 × V _{CC}		V _{CC} + 0.3	V
V _{IL}	输入低电压	逻辑“0”状态的最大输入电压	-0.3		0.3 × V _{CC}	V
I _{IH}	输入高电流	V _{DD} 可以是 1.8V/2.5V/3.3V, V _{IH} = V _{DD}			30	μA
I _{IL}	输入低电流	V _{DD} 可以是 1.8V/2.5V/3.3V, V _{IH} = V _{DD}	-30			μA
R _{pull-up(EN)}	输入上拉电阻器			500		kΩ
R _{pull-down(EN)}	输入下拉电阻器			320		kΩ
SINGLE-ENDED LVCMOS/LVTTL CLOCK INPUT (适用于 V_{DD} = 1.8V ± 5%、2.5V ± 5% 和 3.3V ± 5%)						
f _{IN}	输入频率	时钟输入	DC		250	MHz
V _{IN,S-E}	单端输入电压摆幅	假设方波输入具有两个电平	0.4		3.465	V
dV _{IN} /dt	输入压摆率 (振幅的 20% 至 80%)		0.05			V/ns
I _{IH}	输入高电流	V _{DD} = 3.465V, V _{IH} = 3.465V			50	μA
I _{IL}	输入低电流	V _{DD} = 3.465V, V _{IL} = 0V	-30			μA
C _{IN,SE}	输入电容	25°C 时		3.5		pF
DIFFERENTIAL CLOCK INPUT (适用于 V_{DD} = 1.8V ± 5%、2.5V ± 5% 和 3.3V ± 5%)						
f _{IN}	输入频率	时钟输入			2	GHz
V _{IN,DIFF(p-p)}	差分输入电压峰峰值 {2x (V _{INP} -V _{INN})}	V _{ICM} = 1V (V _{DD} = 1.8V) V _{ICM} = 1.25V (V _{DD} = 2.5V/3.3V)	0.3		2.4	V _{PP}
V _{ICM}	输入共模电压	V _{IN,DIFF(P-P)} > 0.4V (V _{DD} = 1.8V/2.5V/3.3V)	0.25		2.3	V

LMK1D1204, LMK1D1208

ZHCSLT3C - DECEMBER 2020 - REVISED FEBRUARY 2026

VDD = 1.8V、2.5V、3.3V ± 5%，-40°C ≤ T_A ≤ 105°C。典型值是 VDD = 1.8V、2.5V、3.3V、25°C 条件下的值（除非另有说明）

参数		测试条件	最小值	典型值	最大值	单位
I _{IH}	输入高电流	V _{DD} = 3.465V, V _{INP} = 2.4V, V _{INN} = 1.2V			30	μA
I _{IL}	输入低电流	V _{DD} = 3.465V, V _{INP} = 0V, V _{INN} = 1.2V	-30			μA
C _{IN,S-E}	输入电容（单端）	25°C 时		3.5		pF
LVDS 输出特性						
VOD	差分输出电压幅度 V _{OUTP} - V _{OUTN}	V _{IN,DIFF(P-P)} = 0.3V, R _{LOAD} = 100Ω, AMP_SEL = 0	250	350	450	mV
VOD	差分输出电压幅度 V _{OUTP} - V _{OUTN}	V _{IN,DIFF(P-P)} = 0.3V, R _{LOAD} = 100Ω	250	350	450	mV
VOD	差分输出电压幅度 V _{OUTP} - V _{OUTN}	V _{IN,DIFF(P-P)} = 0.3V, R _{LOAD} = 100Ω, AMP_SEL = 1	400	500	650	mV
ΔVOD	差分输出电压幅度的变化。每个输出，定义为 VOD 在逻辑高/低电平状态下的差值。	V _{IN,DIFF(P-P)} = 0.3V, R _{LOAD} = 100Ω, AMP_SEL = 0	-15		15	mV
ΔVOD	差分输出电压幅度的变化。每个输出，定义为 VOD 在逻辑高/低电平状态下的差值。	V _{IN,DIFF(P-P)} = 0.3V, R _{LOAD} = 100Ω	-15		15	mV
ΔVOD	差分输出电压幅度的变化	V _{IN,DIFF(P-P)} = 0.3V, R _{LOAD} = 100Ω, AMP_SEL = 1	-20		20	mV
V _{OC(SS)}	稳定状态共模输出电压	V _{IN,DIFF(P-P)} = 0.3V, R _{LOAD} = 100Ω (V _{DD} = 1.8V)	1		1.2	V
		V _{IN,DIFF(P-P)} = 0.3V, R _{LOAD} = 100Ω (V _{DD} = 2.5V/3.3V)	1.1		1.375	
ΔV _{OC(SS)}	稳定状态共模输出电压的变化。每个输出，定义为 VOC 在逻辑高/低电平状态下的差值。	V _{IN,DIFF(P-P)} = 0.3V, R _{LOAD} = 100Ω	-15		15	mV
LVDS 交流输出特性						
V _{ring}	输出过冲和下冲	V _{IN,DIFF(P-P)} = 0.3V, R _{LOAD} = 100Ω, f _{OUT} = 491.52MHz	-0.1		0.1	V _{OD}
V _{OS}	输出交流共模	V _{IN,DIFF(P-P)} = 0.3V, R _{LOAD} = 100Ω		50	100	mV _{pp}
I _{OS}	短路输出电流（差分）	V _{OUTP} = V _{OUTN}	-12		12	mA
I _{OS(cm)}	短路输出电流（共模）	V _{OUTP} = V _{OUTN} = 0	-24		24	mA
t _{PD}	传播延迟	V _{IN,DIFF(P-P)} = 0.3V, R _{LOAD} = 100Ω (1)	0.3		0.575	ns
t _{SK,PP}	器件间延迟	在输入和输出负载相同的情况下，不同器件在相同的工作条件下的输出之间的偏移。			250	ps
t _{SK,P}	脉冲偏移	50% 占空比输入，交叉点到交叉点失真 (2)	-20		20	ps
t _{RJIT(ADD)}	随机附加抖动 (rms)	f _{IN} = 156.25MHz, 占空比为 50%，输入压摆率 = 1.5V/ns, 积分范围 = 12kHz - 20MHz, 输出负载 R _{LOAD} = 100Ω		50	60	fs, RMS

VDD = 1.8V、2.5V、3.3V ± 5% , - 40°C ≤ T_A ≤ 105°C。典型值是 VDD = 1.8V、2.5V、3.3V、25°C 条件下的值 (除非另有说明)

参数		测试条件	最小值	典型值	最大值	单位
相位噪声	156.25MHz 载波频率的相位噪声, 占空比为 50%, 输入压摆率 = 1.5V/ns, 输出负载 R _{LOAD} = 100 Ω	PN _{1kHz}		-143		dBc/Hz
		PN _{10kHz}		-152		
		PN _{100kHz}		-157		
		PN _{1MHz}		-160		
		PN _{floor}		-164		

LMK1D1204, LMK1D1208

ZHCSLT3C - DECEMBER 2020 - REVISED FEBRUARY 2026

VDD = 1.8V、2.5V、3.3V ± 5% , - 40°C ≤ T_A ≤ 105°C。典型值是 VDD = 1.8V、2.5V、3.3V、25°C 条件下的值 (除非另有说明)

参数		测试条件	最小值	典型值	最大值	单位
MUX _{ISO}	多路复用器隔离	f _{IN} = 156.25MHz。选择的时钟有效且未选择的时钟静态时与选择的时钟无效且未选择的时钟有效时 f _{IN} 下的功率级别差异。		80		dB
ODC	输出占空比	输入占空比为 50%	45		55	%
t _R /t _F	输出上升和下降时间	20% 至 80% , R _{LOAD} = 100 Ω			300	ps
V _{AC_REF}	基准输出电压	VDD = 2.5V , I _{LOAD} = 100μA	0.9	1.25	1.375	V
电源噪声抑制 (PSNR) V_{DD} = 2.5V/3.3V						
PSNR	电源噪声抑制 (f _{carrier} = 156.25MHz)	在 V _{DD} 上注入 10kHz、100mVpp 纹波		-70		dBc
		在 V _{DD} 上注入 1MHz、100mVpp 纹波		-50		

- (1) 在单端/差分输入交叉点与差分输出交叉点之间测量。
- (2) 定义为输出端高电平到低电平传播延迟时间和低电平到高电平传播延迟时间之间的时间差大小。

6.6 典型特性

图 6-1 示出了 LMK1D1208 电流消耗随输入频率和电源电压的变化情况。LMK1D1204 遵循类似趋势。图 6-2 示出了整个频率范围内差分输出电压 (VOD) 的变化。该结果也适用于 LMK1D1204。

图 6-1 和图 6-2 用于指导用户预期针对 LMK1D120x 支持的工作频率范围获取哪些信息。注意，这些图是针对有限数量的频率和负载条件绘制的，而这些并不一定代表客户系统。

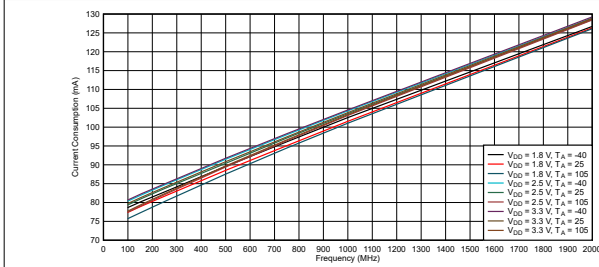


图 6-1. LMK1D1208 电流消耗与频率间的关系

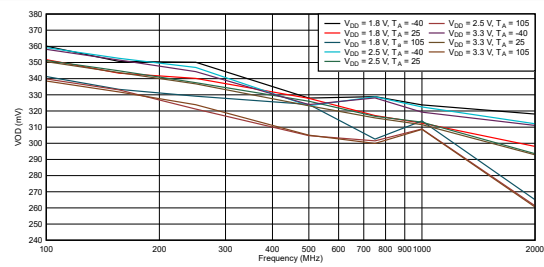


图 6-2. LMK1D1208 VOD 与频率间的关系

7 参数测量信息

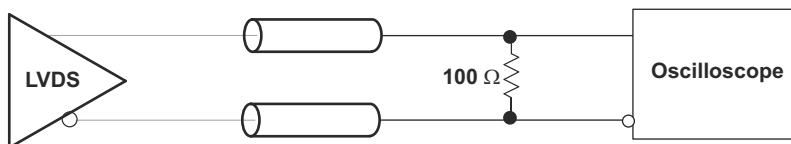


图 7-1. 器件测试期间的 LVDS 输出直流配置

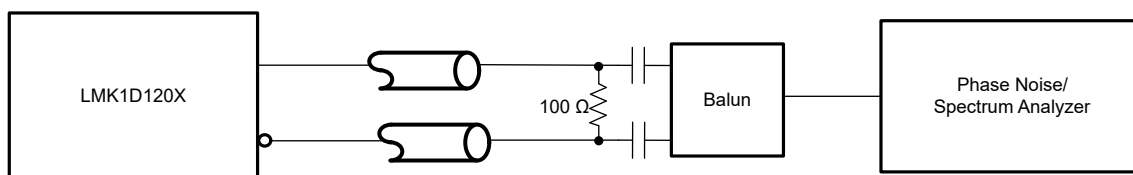


图 7-2. 器件测试期间的 LVDS 输出交流配置

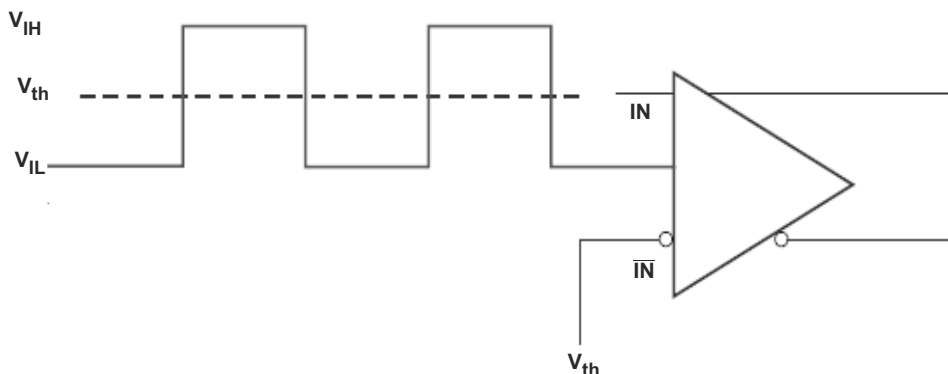


图 7-3. 器件测试期间直流耦合的 LVCMOS 输入

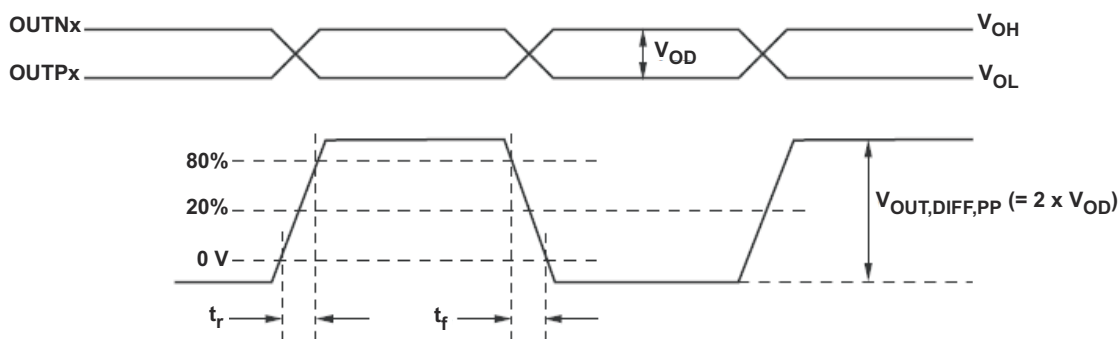
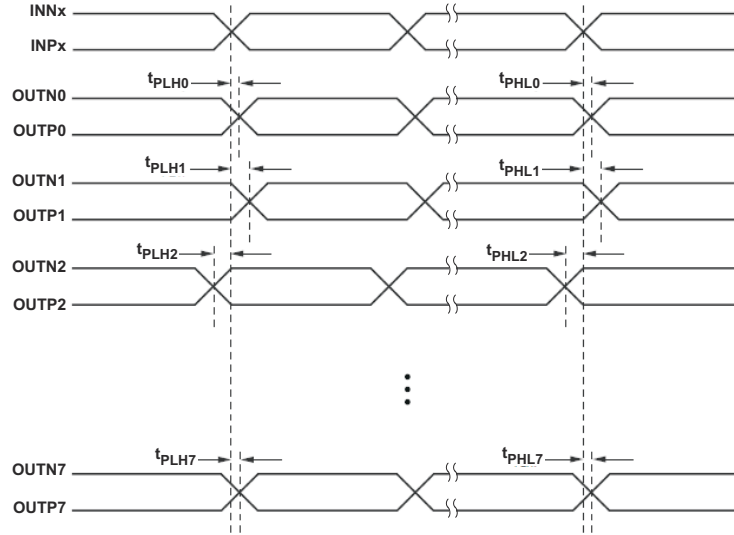


图 7-4. 输出电压和上升/下降时间



- A. 输出偏移为以下两者中的较大者：最快和最慢 t_{PLHn} 之间的差值或最快和最慢 t_{PHLn} 之间的差值 ($n = 0, 1, 2, \dots, 7$)
- B. 器件间延迟为以下两者中的较大者：多个器件上最快和最慢 t_{PLHn} 之间的差值或最快和最慢 t_{PHLn} 之间的差值 ($n = 0, 1, 2, \dots, 7$)

图 7-5. 输出偏移和器件间延迟

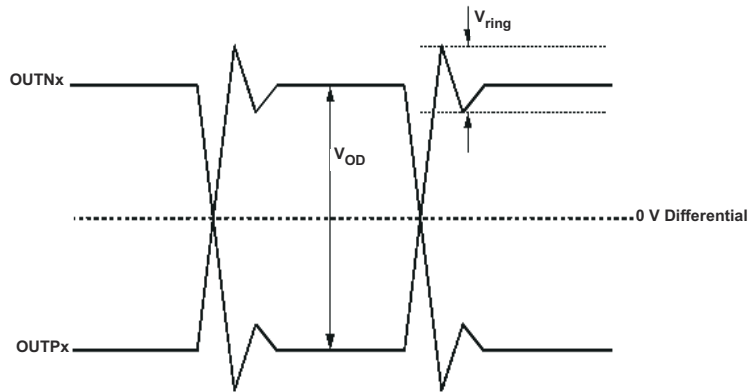


图 7-6. 输出过冲和下冲

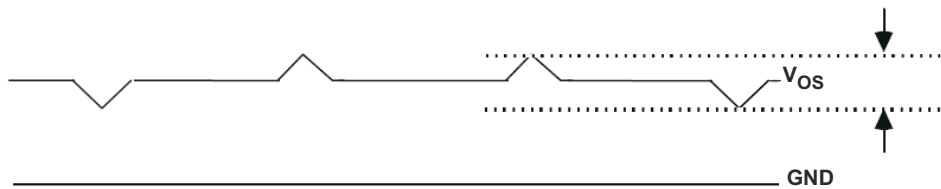


图 7-7. 输出交流共模

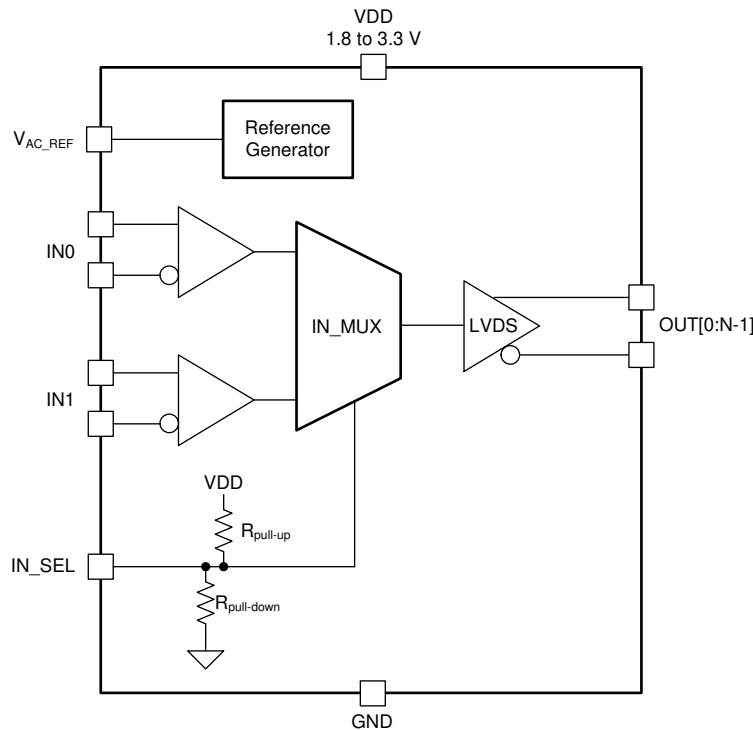
8 详细说明

8.1 概述

LMK1D120x LVDS 驱动器使用 CMOS 晶体管来控制输出电流。因此，需通过适当的偏置和端接，确保器件正常运行并最大程度地提高信号完整性。

为了确保两条 $50\ \Omega$ 线路上的信号完整性，正确的 LVDS 端接是接收器端输出之间具有 $100\ \Omega$ 的电阻。直流耦合端接和交流耦合端接均可用于 LVDS 输出。TI 建议将端接电阻器放置在靠近接收器的位置。如果接收器在内部偏置到的电压不同于 LMK1D12XX 输出共模电压，则必须使用交流耦合。如果 LVDS 接收器具有内部 $100\ \Omega$ 终端，则必须省略外部终端。

8.2 功能方框图



8.3 特性说明

LMK1D120x 是一款低附加抖动 LVDS 扇出缓冲器，可通过两个可选的 LVPECL、LVDS、LP-HCSL、HCSL 或 LVCMOS 输入生成多达八个输出。LMK1D120x 可以接受高达 2GHz 的参考时钟频率，同时提供低输出延迟。

8.3.1 失效防护输入和磁滞

LMK1D120x 系列器件支持失效防护输入操作特性。该功能允许用户在施加 V_{DD} 之前驱动器件输入，而不会损坏器件。有关该器件支持的最大输入的更多信息，请参阅 [规格](#)。用户必须注意，整合失效防护输入也会导致时钟输入引脚电容略有增加。

该器件还整合了输入迟滞，可防止在没有输入信号的情况下随机振荡。此外，此功能还允许输入引脚保持开路。

8.3.2 输入多路复用器

LMK1D120x 系列器件具有一个 2:1 输入多路复用器。该功能允许用户在器件的两个时钟输入（使用 IN_SEL 引脚）之间进行选择，并将输入扇出到输出。下一节会提供有关输入选择的更多信息。

8.4 器件功能模式

LMK1D120x 的两个输入在内部混合在一起，并可通过控制引脚进行选择（参阅表 8-1）。未使用的输入可以保持悬空，从而减少了对额外元件的需求。交流和直流耦合方案均可与 LMK1D120x 配合使用，以提供更大的系统灵活性。

表 8-1. 输入选择表

IN_SEL	有效时钟输入
0	IN0_P、IN0_N
1	IN1_P、IN1_N
开路	无 ⁽¹⁾

(1) 输入缓冲器被禁用，输出为静态逻辑低电平。

8.4.1 LVDS 输出端接

TI 建议使用 100 Ω 电阻器对未使用的输出进行差分端接以获得最佳性能，尽管允许使用未端接的输出，但这会导致所使用输出的性能略有下降（输出交流共模 V_{OS} ）。

LMK1D120x 可以通过直流和交流耦合连接到 LVDS 接收器输入，分别如图 8-1 和图 8-2 所示。

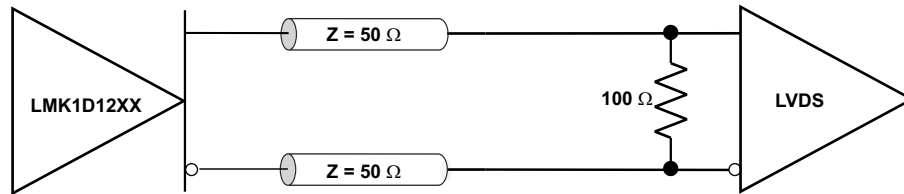


图 8-1. 输出直流终端

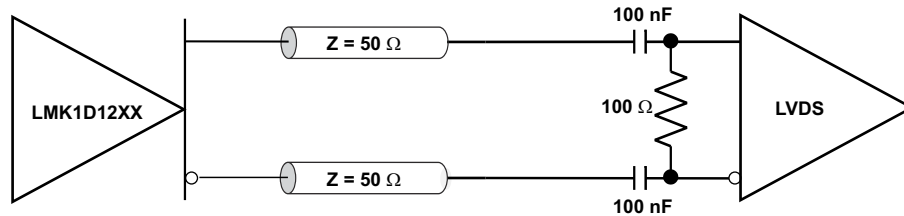


图 8-2. 输出交流终端（接收器内部偏置）

8.4.2 输入端接

LMK1D120x 输入级的设计考虑了灵活性，以允许用户使用各种信号类型驱动器件。该器件可以与 LVDS、LVPECL、LP-HCSL、HCSL、CML 或 LVCMOS 驱动器连接。有关更多详细信息，请参阅电气特点。

LVDS 驱动器可以通过直流和交流耦合连接到 LMK1D120x 输入，分别如图 8-3 和图 8-4 所示。

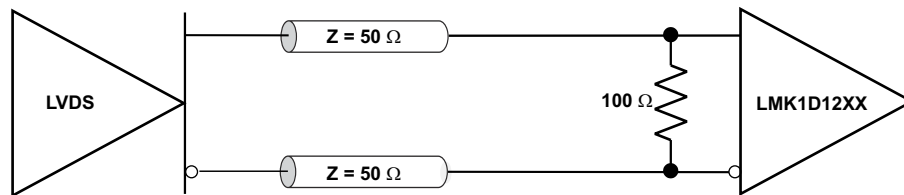


图 8-3. 连接到 LMK1D120x 输入的 LVDS 时钟驱动器（直流耦合）

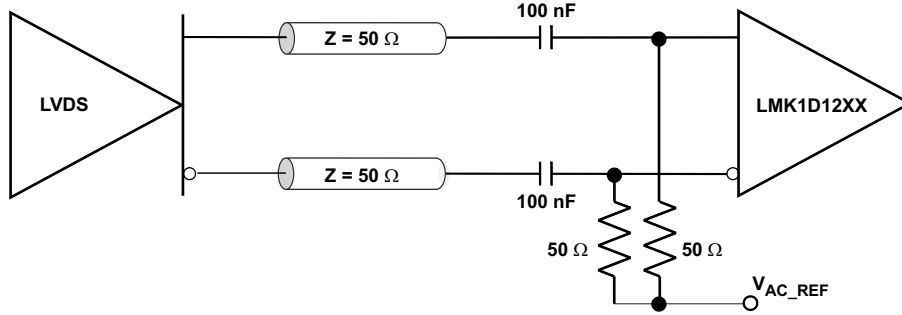


图 8-4. 连接到 LMK1D120x 输入的 LVDS 时钟驱动器 (交流耦合)

图 8-5 展示了如何将 LVPECL 输入连接到 LMK1D120x。如果信号摆幅大于 1.6V_{PP}，则需要使用串联电阻器来降低 LVPECL 信号摆幅。

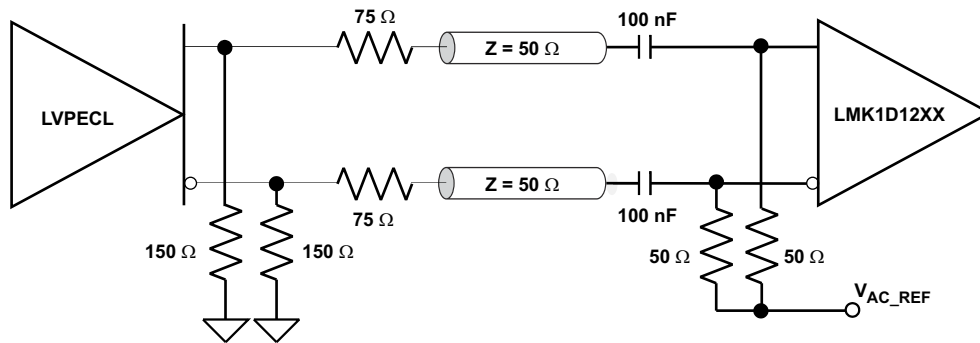


图 8-5. 连接到 LMK1D120x 输入的 LVPECL 时钟驱动器

图 8-6 示出了如何将 LVCMOS 时钟输入直接耦合到 LMK1D120x。

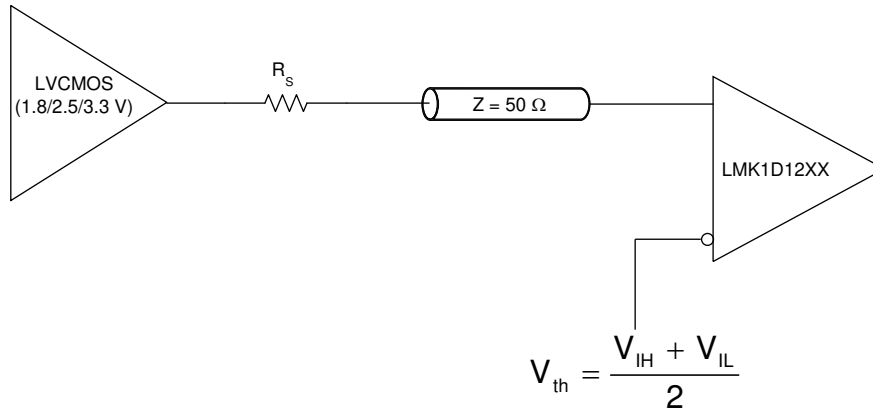


图 8-6. 连接到 LMK1D120x 输入的 1.8V/2.5V/3.3V LVCMOS 时钟驱动器

对于未使用的输入，TI 建议使用 1kΩ 电阻器将两个输入引脚 (INP、INN) 接地。

9 应用和实施

备注

以下应用部分中的信息不属于 TI 器件规格的范围，TI 不担保其准确性和完整性。TI 的客户应负责确定器件是否适用于其应用。客户应验证并测试其设计，以确保系统功能。

9.1 应用信息

LMK1D120x 是一款具有 2 个可选输入的低附加抖动、通用转 LVDS 扇出缓冲器。该器件采用小型封装，并具有低输出延迟和低附加抖动，因此适用于具有灵活性要求的应用。

9.2 典型应用

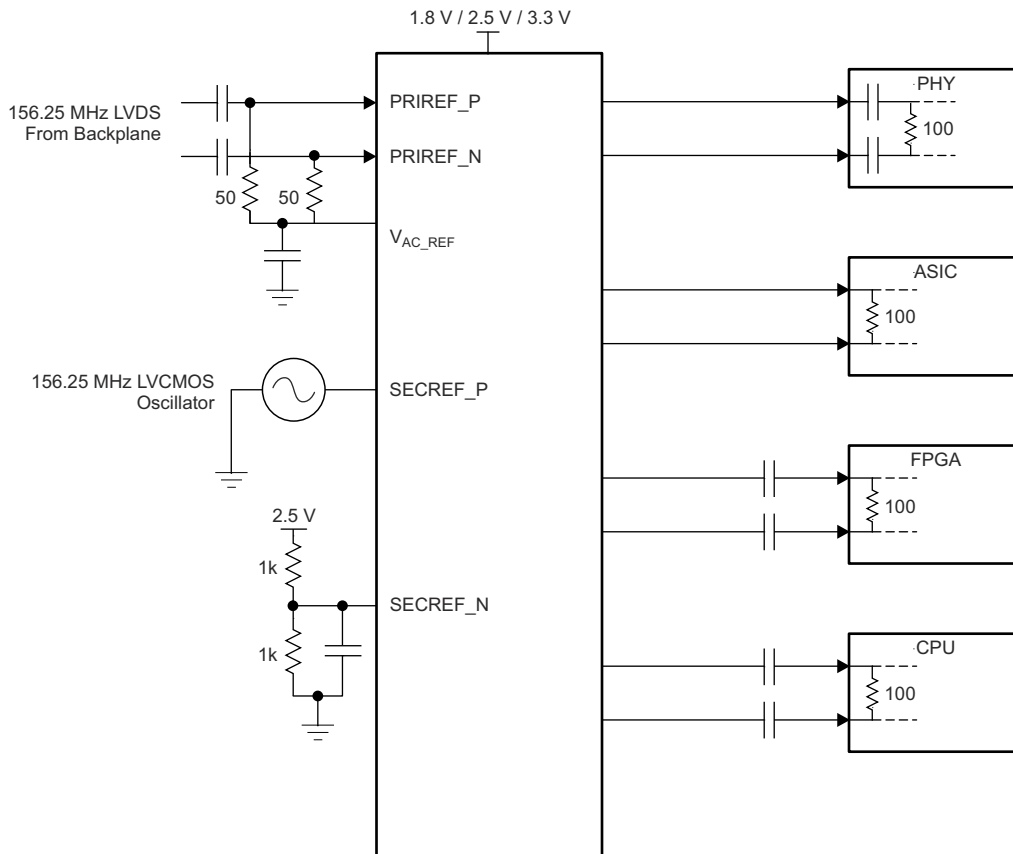


图 9-1. 用于线路卡应用的扇出缓冲器

9.2.1 设计要求

图 9-1 中所示的 LMK1D120x 配置为选择两个输入，一个输入是来自背板的 156.25MHz LVDS 时钟，另一个输入是 156.25MHz LVCMOS 2.5V 辅助振荡器。LVDS 时钟使用集成基准电压发生器进行交流耦合和偏置。使用电阻分压器正确地设置 LVCMOS 时钟的阈值电压。0.1 μ F 电容器用于降低 V_{AC_REF} 和 $SECRET_N$ 上的噪声。然后，可以将任一输入信号扇出到所需的器件，如图所示。配置示例是在具有以下属性的线路卡应用中驱动 4 个 LVDS 接收器：

- PHY 器件能够与 LVDS 驱动器 (如 LMK1D120x) 进行直流耦合。此 PHY 器件具有内部端接功能，因此不需要额外的元件即可正常运行。
- ASIC LVDS 接收器具有内部端接功能,并且在与 LMK1D120x 相同的共模电压下工作。同样，无需额外的元件。
- FPGA 需要外部交流耦合，但具有内部端接。放置 0.1 μ F 电容器以便提供交流耦合。同样，CPU 在内部端接，并仅需要外部交流耦合电容器。
- 为了实现最佳性能，LMK1D 器件未使用的输出使用 100 Ω 电阻器进行差分端接。

9.2.2 详细设计过程

参阅 [输入端接](#)，根据是单端还是差分输入来实现正确的输入端接。

参阅 [LVDS 输出端接](#)，根据接收器应用选择输出端接方案。

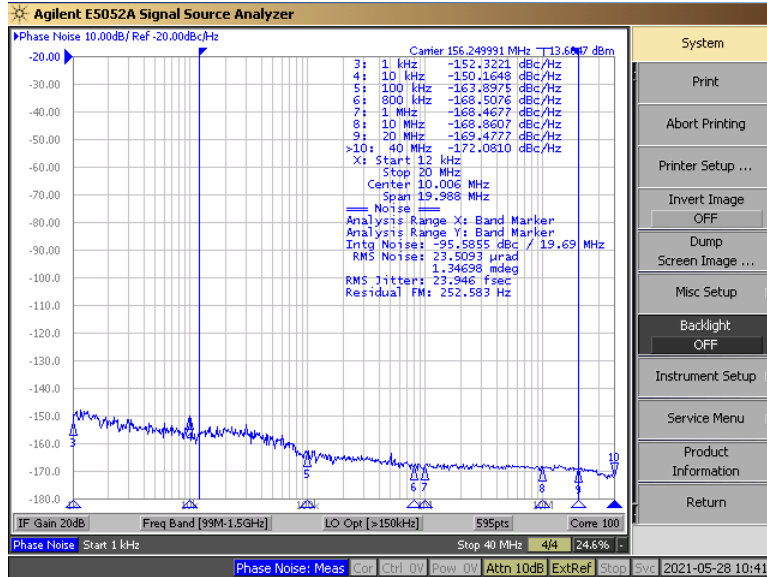
TI 建议使用 100 Ω 电阻器对未使用的输出进行差分端接以获得最佳性能，尽管允许使用未端接的输出，但这会导致所使用输出的性能略有下降 (输出交流共模 V_{OS})。

在此示例中，PHY、ASIC 和 FPGA 或 CPU 需要不同的方案。电源滤波和旁路对于低噪声应用至关重要。

有关建议的滤波技术，请参阅 [电源相关建议](#)。 [低附加抖动四路 LVDS 输出时钟缓冲器评估板 \(SCAU043\)](#) 中提供了参考布局。

9.2.3 应用曲线

LMK1D1208 的低附加噪声如下图所示。LMK1D1208 由具有 24fs RMS 抖动的低噪声 156.25MHz 源 (如图 9-2 所示) 驱动, 因此当在 12kHz 至 20MHz 范围内积分时, 抖动为 46.4fs RMS (图 9-3)。对于此配置, 产生的附加抖动较低, 大小为 39.7fs RMS。请注意, 该结果也适用于 LMK1D1204 器件。



A. 基准信号是低噪声 Rohde and Schwarz SMA100B

图 9-2. LMK1D208 参考相位噪声, 156.25MHz, 24fs RMS (12kHz 至 20MHz)

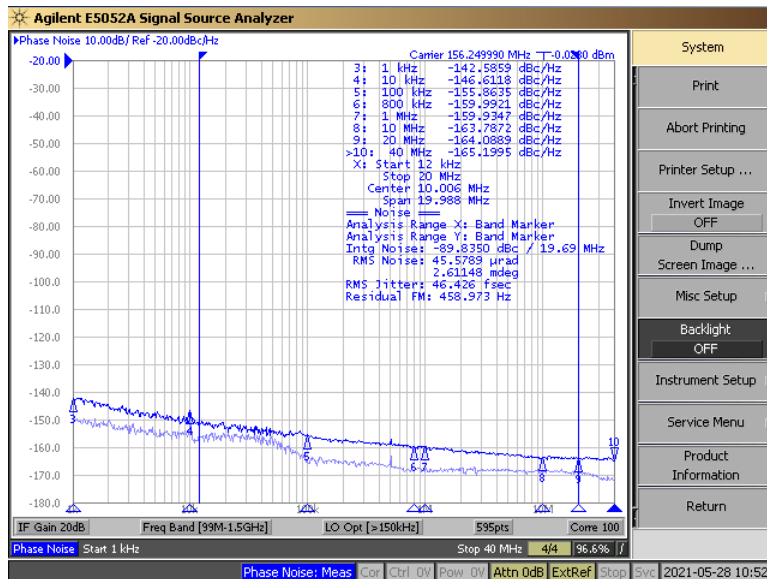


图 9-3. LMK1D1208 输出相位噪声, 156.25MHz, 46.4fs RMS (12kHz 至 20MHz)

图 9-4 可捕获 LMK1D1208 器件的低近端相位噪声。凭借出色的工艺技术和设计，LMK1D1204 和 LMK1D1208 具有出色的闪烁噪声。这使得在需要超低近端相位噪声时钟的雷达系统、医疗成像系统等中可使用时钟分配。

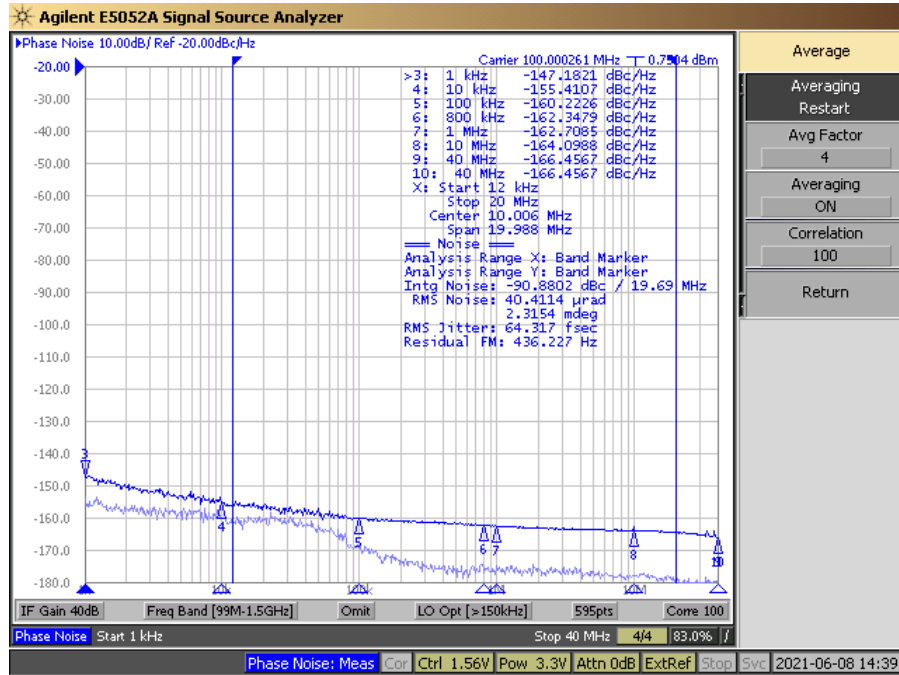


图 9-4. LMK1D1208 输出相位噪声，100MHz，1kHz 偏移：-147dBc/Hz

9.3 电源相关建议

高性能时钟缓冲器对电源上的噪声很敏感，这会显著增加缓冲器的附加抖动。降低系统电源的噪声至关重要，尤其是当抖动和相位噪声对于应用至关重要时。

滤波电容器用于消除电源的低频噪声，其中旁路电容器为高频噪声提供低阻抗路径，并保护电源系统免受感应波动的影响。这些旁路电容器还提供器件所需的瞬时电流浪涌，并且必须具有低等效串联电阻 (ESR)。为了正确使用旁路电容器，必须将电容器放置在靠近电源引脚的位置，并使用短环路布局来尽可能减小电感。TI 建议添加尽可能多的高频（例如 0.1 μF ）旁路电容器，因为封装中有电源引脚。TI 建议但不要求在电路板电源和芯片电源之间插入铁氧体磁珠来隔离时钟驱动器产生的高频开关噪声；这些磁珠可防止开关噪声泄漏到电路板电源中。应选择具有低直流电阻的合适铁氧体磁珠，因为必须在电路板电源和芯片电源之间提供充分的隔离，并且应保持电源引脚上的电压大于正常运行所需的最小电压。

图 9-5 展示了该建议的电源去耦方法。

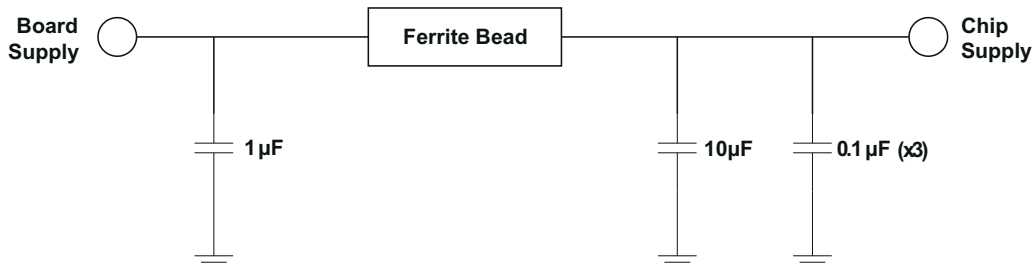


图 9-5. 电源去耦

9.4 布局

9.4.1 布局指南

出于可靠性和性能原因，必须将内核温度限制为最高 135°C。

该器件封装具有外露焊盘，为印刷电路板 (PCB) 提供了主要散热路径。为了尽可能提高封装的散热，必须在封装的尺寸内将包括接地层多个过孔的散热焊盘布局合并到 PCB 中。必须将散热焊盘焊接到下方，确保为封装提供充分的热传导。图 9-6 显示了 LMK1D1208 建议的焊盘和过孔布局。

9.4.2 布局示例

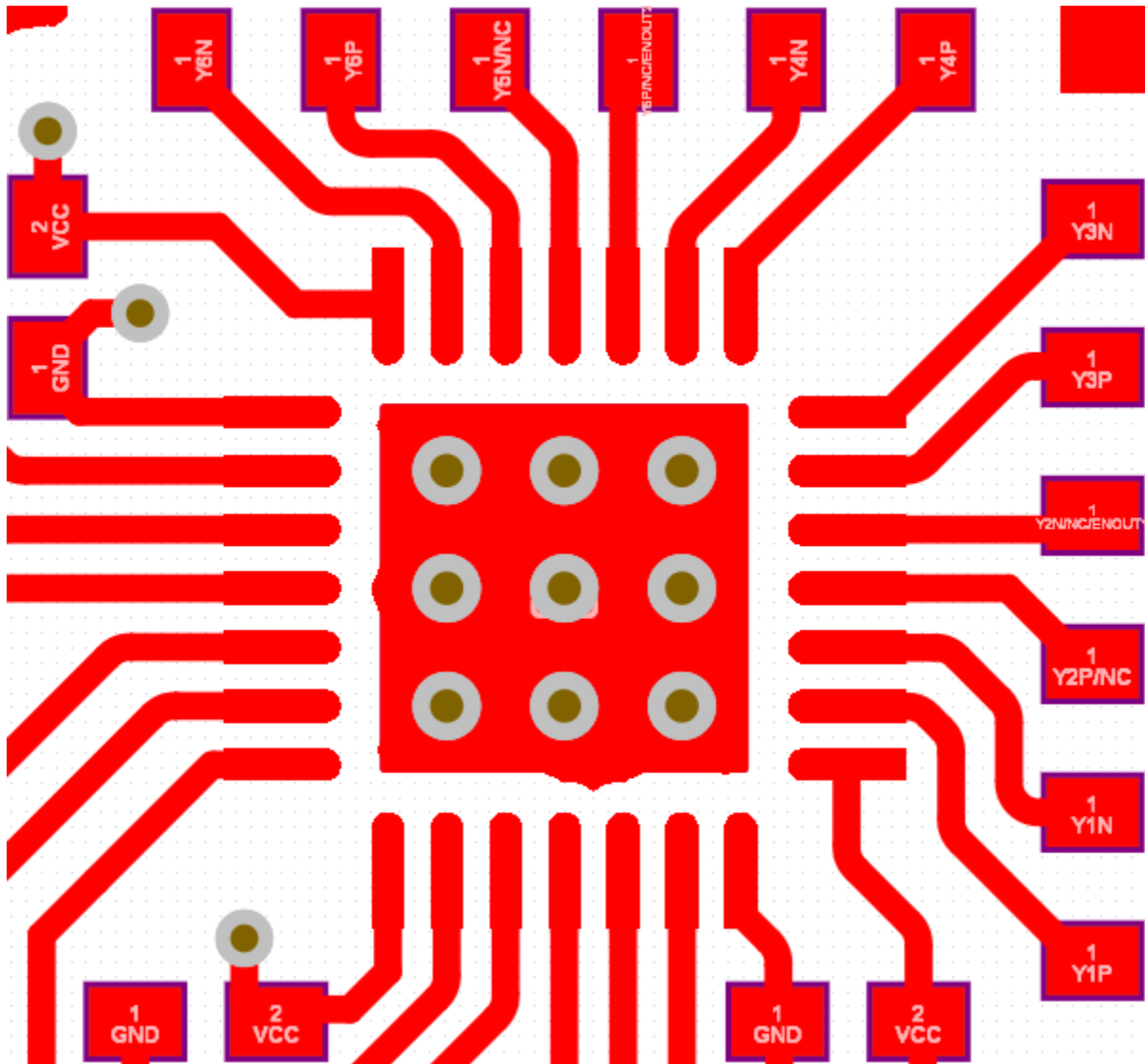


图 9-6. 建议的 PCB 布局，顶层

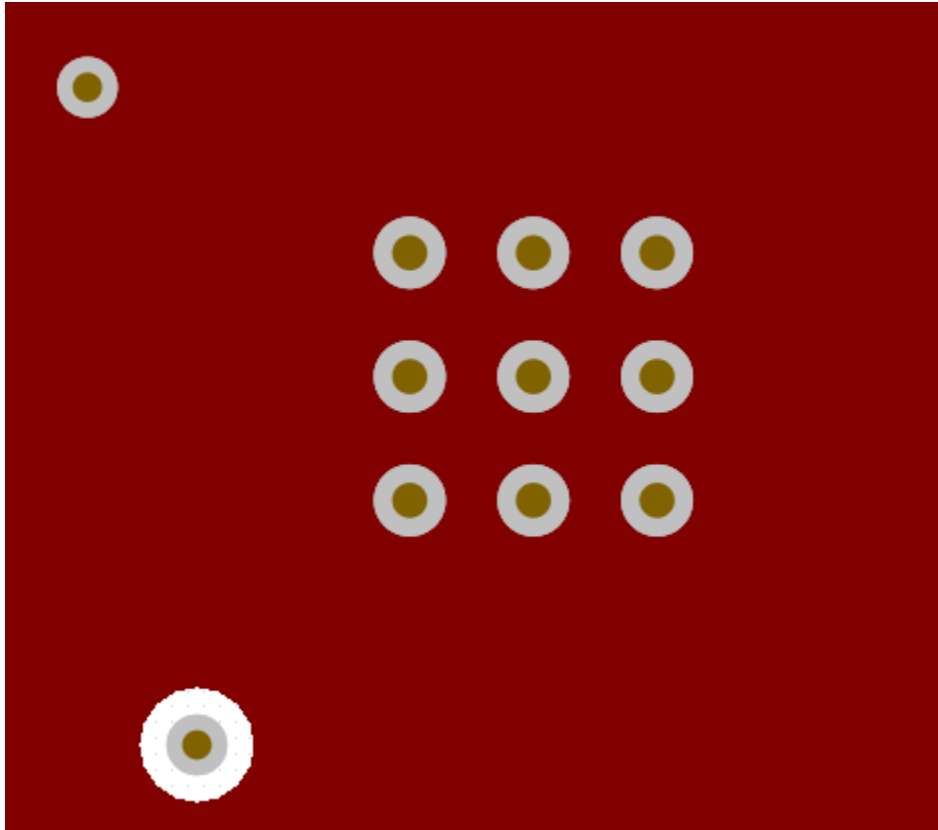


图 9-7. PCB 布局 , GND 层

10 器件和文档支持

10.1 文档支持

10.1.1 相关文档

请参阅以下相关文档：

- 德州仪器 (TI), [低附加抖动四路 LVDS 输出时钟缓冲器评估板](#), 用户指南
- 德州仪器 (TI), [LVPECL 和 LVDS 的功耗](#), 模拟设计期刊
- 德州仪器 (TI), [半导体和 IC 封装热指标](#), 应用手册
- 德州仪器 (TI), [模拟元件热计算工具的使用](#), 应用手册

10.2 接收文档更新通知

要接收文档更新通知，请导航至 [ti.com](#) 上的器件产品文件夹。点击 [通知](#) 进行注册，即可每周接收产品信息更改摘要。有关更改的详细信息，请查看任何已修订文档中包含的修订历史记录。

10.3 支持资源

[TI E2E™ 中文支持论坛](#) 是工程师的重要参考资料，可直接从专家处获得快速、经过验证的解答和设计帮助。搜索现有解答或提出自己的问题，获得所需的快速设计帮助。

链接的内容由各个贡献者“按原样”提供。这些内容并不构成 TI 技术规范，并且不一定反映 TI 的观点；请参阅 TI 的 [使用条款](#)。

10.4 商标

TI E2E™ is a trademark of Texas Instruments.

所有商标均为其各自所有者的财产。

10.5 静电放电警告



静电放电 (ESD) 会损坏这个集成电路。德州仪器 (TI) 建议通过适当的预防措施处理所有集成电路。如果不遵守正确的处理和安装程序，可能会损坏集成电路。

ESD 的损坏小至导致微小的性能降级，大至整个器件故障。精密的集成电路可能更容易受到损坏，这是因为非常细微的参数更改都可能会导致器件与其发布的规格不相符。

10.6 术语表

[TI 术语表](#) 本术语表列出并解释了术语、首字母缩略词和定义。

11 修订历史记录

注：以前版本的页码可能与当前版本的页码不同

Changes from Revision B (June 2023) to Revision C (February 2026)	Page
• 在规格中添加了热性能信息表.....	8

12 机械、封装和可订购信息

以下页面包含机械、封装和可订购信息。这些信息是指定器件可用的最新数据。数据如有变更，恕不另行通知，且不会对此文档进行修订。有关此数据表的浏览器版本，请查阅左侧的导航栏。

PACKAGING INFORMATION

Orderable part number	Status (1)	Material type (2)	Package Pins	Package qty Carrier	RoHS (3)	Lead finish/ Ball material (4)	MSL rating/ Peak reflow (5)	Op temp (°C)	Part marking (6)
LMK1D1204RGTR	Active	Production	VQFN (RGT) 16	3000 LARGE T&R	Yes	NIPDAU	Level-1-260C-UNLIM	-40 to 105	LD1204
LMK1D1204RGTR.B	Active	Production	VQFN (RGT) 16	3000 LARGE T&R	Yes	NIPDAU	Level-1-260C-UNLIM	-40 to 105	LD1204
LMK1D1204RGTRG4	Active	Production	VQFN (RGT) 16	3000 LARGE T&R	Yes	NIPDAU	Level-1-260C-UNLIM	-40 to 105	LD1204
LMK1D1204RGTRG4.B	Active	Production	VQFN (RGT) 16	3000 LARGE T&R	Yes	NIPDAU	Level-1-260C-UNLIM	-40 to 105	LD1204
LMK1D1204RGTT	Active	Production	VQFN (RGT) 16	250 SMALL T&R	Yes	NIPDAU	Level-1-260C-UNLIM	-40 to 105	LD1204
LMK1D1204RGTT.B	Active	Production	VQFN (RGT) 16	250 SMALL T&R	Yes	NIPDAU	Level-1-260C-UNLIM	-40 to 105	LD1204
LMK1D1208RHDR	Active	Production	VQFN (RHD) 28	3000 LARGE T&R	Yes	NIPDAU	Level-1-260C-UNLIM	-40 to 105	LMK1D 1208
LMK1D1208RHDR.B	Active	Production	VQFN (RHD) 28	3000 LARGE T&R	Yes	NIPDAU	Level-1-260C-UNLIM	-40 to 105	LMK1D 1208
LMK1D1208RHDT	Active	Production	VQFN (RHD) 28	250 SMALL T&R	Yes	POST PLATE AG RING	Level-1-260C-UNLIM	-40 to 105	LMK1D 1208
LMK1D1208RHDT.B	Active	Production	VQFN (RHD) 28	250 SMALL T&R	Yes	POST PLATE AG RING	Level-1-260C-UNLIM	-40 to 105	LMK1D 1208
LMK1D1208RHDTG4	Active	Production	VQFN (RHD) 28	250 SMALL T&R	Yes	NIPDAU	Level-1-260C-UNLIM	-40 to 105	LMK1D 1208
LMK1D1208RHDTG4.B	Active	Production	VQFN (RHD) 28	250 SMALL T&R	Yes	NIPDAU	Level-1-260C-UNLIM	-40 to 105	LMK1D 1208

(1) **Status:** For more details on status, see our [product life cycle](#).

(2) **Material type:** When designated, preproduction parts are prototypes/experimental devices, and are not yet approved or released for full production. Testing and final process, including without limitation quality assurance, reliability performance testing, and/or process qualification, may not yet be complete, and this item is subject to further changes or possible discontinuation. If available for ordering, purchases will be subject to an additional waiver at checkout, and are intended for early internal evaluation purposes only. These items are sold without warranties of any kind.

(3) **RoHS values:** Yes, No, RoHS Exempt. See the [TI RoHS Statement](#) for additional information and value definition.

(4) **Lead finish/Ball material:** Parts may have multiple material finish options. Finish options are separated by a vertical ruled line. Lead finish/Ball material values may wrap to two lines if the finish value exceeds the maximum column width.

(5) **MSL rating/Peak reflow:** The moisture sensitivity level ratings and peak solder (reflow) temperatures. In the event that a part has multiple moisture sensitivity ratings, only the lowest level per JEDEC standards is shown. Refer to the shipping label for the actual reflow temperature that will be used to mount the part to the printed circuit board.

(6) Part marking: There may be an additional marking, which relates to the logo, the lot trace code information, or the environmental category of the part.

Multiple part markings will be inside parentheses. Only one part marking contained in parentheses and separated by a "~" will appear on a part. If a line is indented then it is a continuation of the previous line and the two combined represent the entire part marking for that device.

Important Information and Disclaimer: The information provided on this page represents TI's knowledge and belief as of the date that it is provided. TI bases its knowledge and belief on information provided by third parties, and makes no representation or warranty as to the accuracy of such information. Efforts are underway to better integrate information from third parties. TI has taken and continues to take reasonable steps to provide representative and accurate information but may not have conducted destructive testing or chemical analysis on incoming materials and chemicals. TI and TI suppliers consider certain information to be proprietary, and thus CAS numbers and other limited information may not be available for release.

In no event shall TI's liability arising out of such information exceed the total purchase price of the TI part(s) at issue in this document sold by TI to Customer on an annual basis.

TAPE AND REEL INFORMATION

QUADRANT ASSIGNMENTS FOR PIN 1 ORIENTATION IN TAPE


*All dimensions are nominal

Device	Package Type	Package Drawing	Pins	SPQ	Reel Diameter (mm)	Reel Width W1 (mm)	A0 (mm)	B0 (mm)	K0 (mm)	P1 (mm)	W (mm)	Pin1 Quadrant
LMK1D1204RGTR	VQFN	RGT	16	3000	330.0	12.4	3.3	3.3	1.1	8.0	12.0	Q2
LMK1D1204RGTRG4	VQFN	RGT	16	3000	330.0	12.4	3.3	3.3	1.1	8.0	12.0	Q2
LMK1D1204RGTT	VQFN	RGT	16	250	180.0	12.4	3.3	3.3	1.1	8.0	12.0	Q2
LMK1D1208RHDR	VQFN	RHD	28	3000	330.0	12.4	5.3	5.3	1.1	8.0	12.0	Q2
LMK1D1208RHDT	VQFN	RHD	28	250	180.0	12.4	5.3	5.3	1.1	8.0	12.0	Q2
LMK1D1208RHDTG4	VQFN	RHD	28	250	180.0	12.4	5.3	5.3	1.1	8.0	12.0	Q2

TAPE AND REEL BOX DIMENSIONS


*All dimensions are nominal

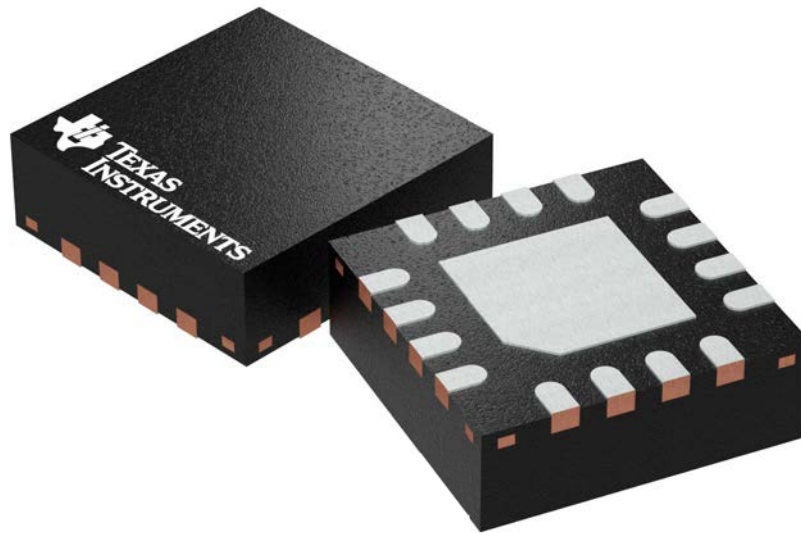
Device	Package Type	Package Drawing	Pins	SPQ	Length (mm)	Width (mm)	Height (mm)
LMK1D1204RGTR	VQFN	RGT	16	3000	367.0	367.0	35.0
LMK1D1204RGTRG4	VQFN	RGT	16	3000	367.0	367.0	35.0
LMK1D1204RGTT	VQFN	RGT	16	250	210.0	185.0	35.0
LMK1D1208RHDR	VQFN	RHD	28	3000	367.0	367.0	35.0
LMK1D1208RHDT	VQFN	RHD	28	250	210.0	185.0	35.0
LMK1D1208RHDTG4	VQFN	RHD	28	250	210.0	185.0	35.0

RGT 16

GENERIC PACKAGE VIEW

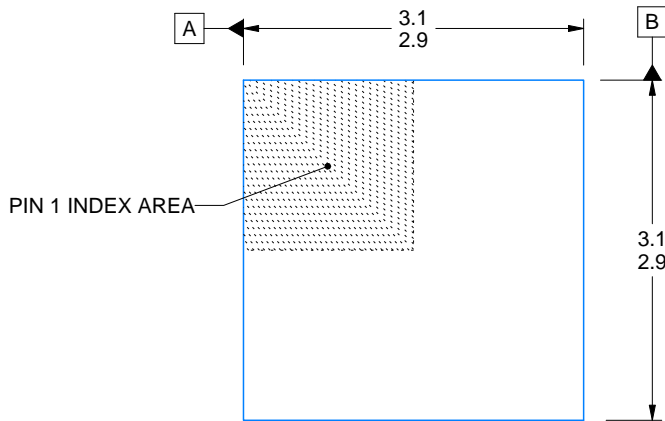
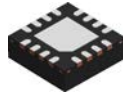
VQFN - 1 mm max height

PLASTIC QUAD FLATPACK - NO LEAD

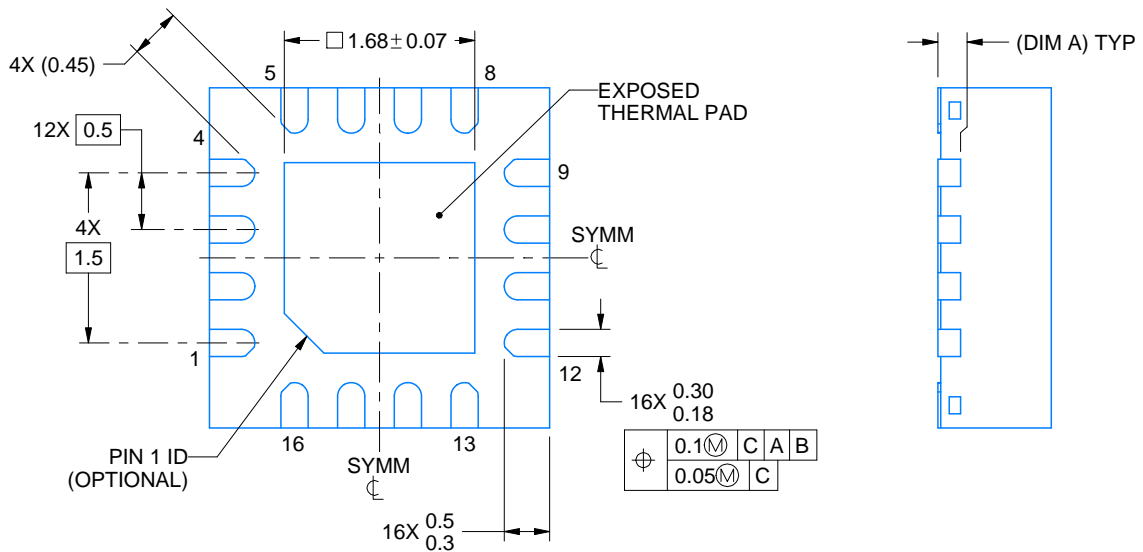
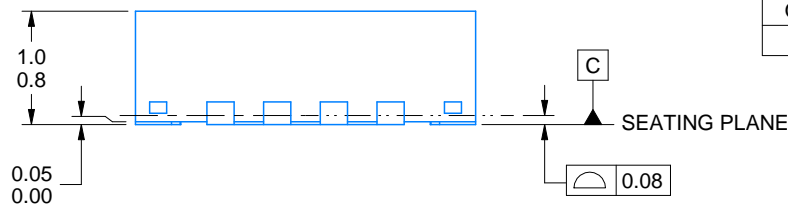


Images above are just a representation of the package family, actual package may vary.
Refer to the product data sheet for package details.

4203495/1



SIDE WALL METAL THICKNESS DIM A	
OPTION 1	OPTION 2
0.1	0.2



4222419/E 07/2025

NOTES:

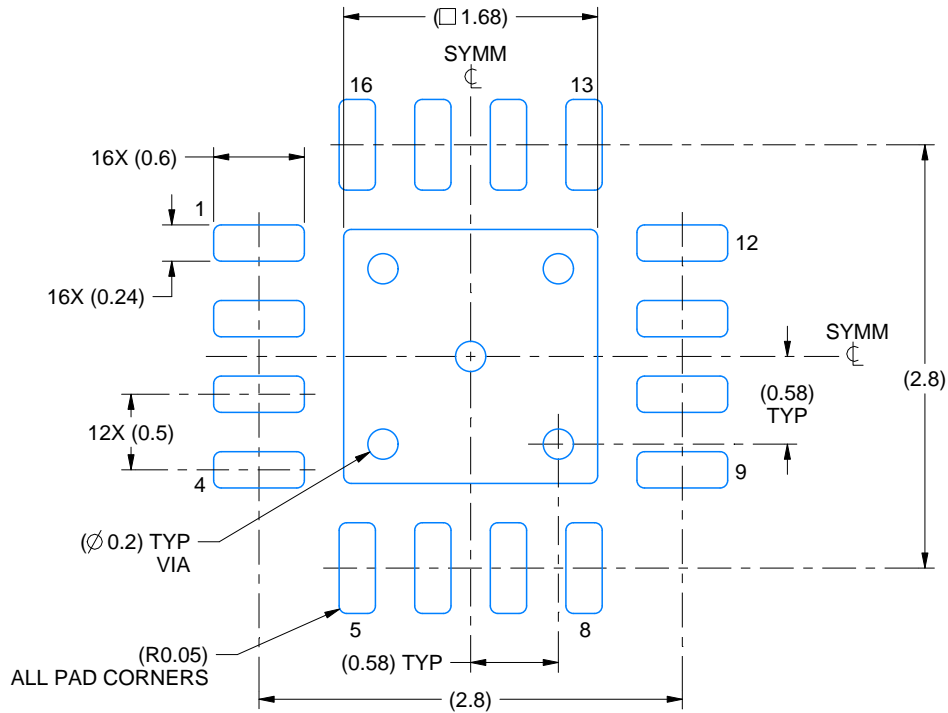
1. All linear dimensions are in millimeters. Any dimensions in parenthesis are for reference only. Dimensioning and tolerancing per ASME Y14.5M.
2. This drawing is subject to change without notice.
3. The package thermal pad must be soldered to the printed circuit board for thermal and mechanical performance.

EXAMPLE BOARD LAYOUT

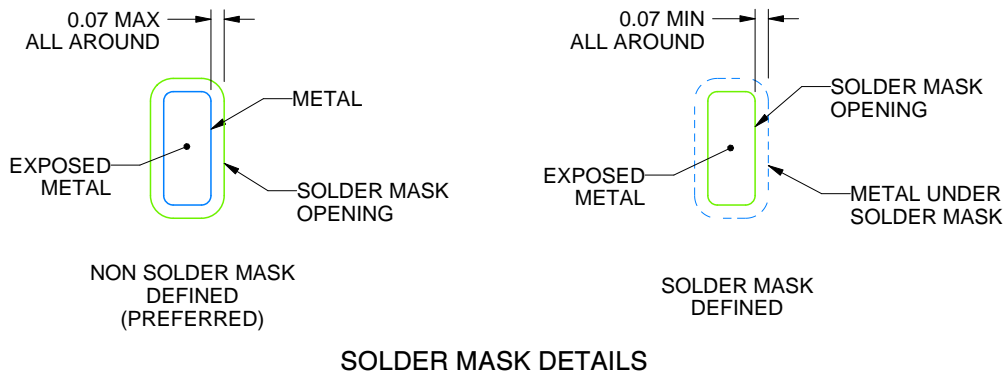
RGT0016C

VQFN - 1 mm max height

PLASTIC QUAD FLATPACK - NO LEAD



LAND PATTERN EXAMPLE
EXPOSED METAL SHOWN
SCALE:20X



SOLDER MASK DETAILS

4222419/E 07/2025

NOTES: (continued)

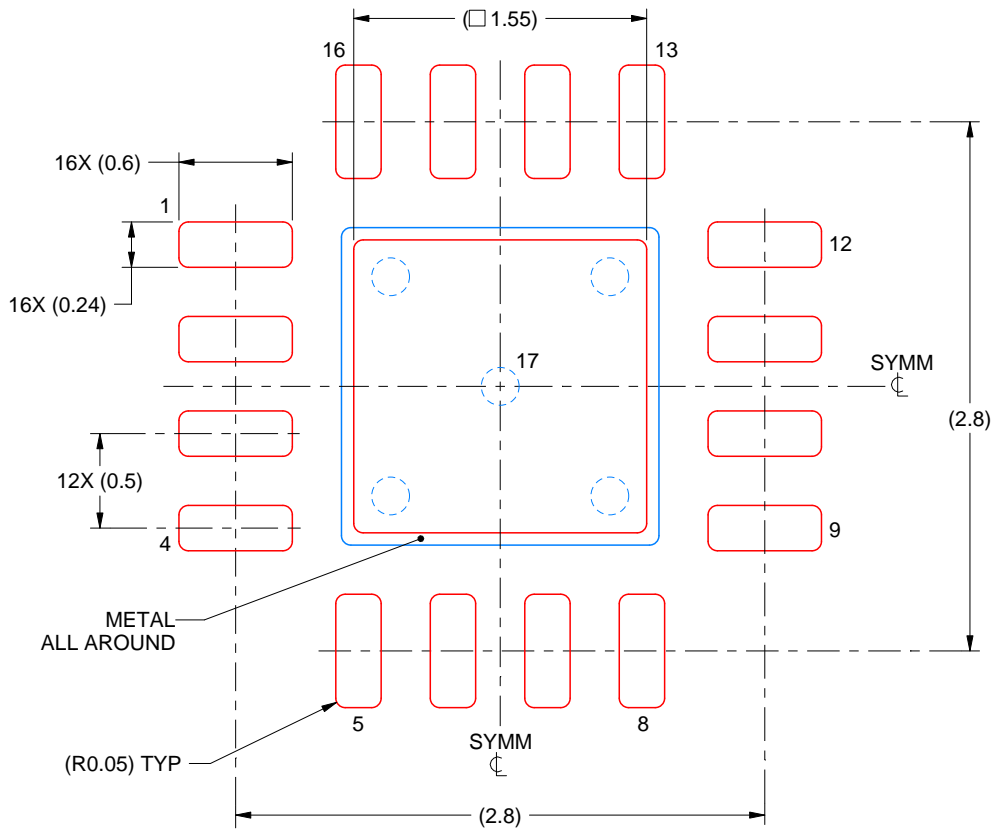
4. This package is designed to be soldered to a thermal pad on the board. For more information, see Texas Instruments literature number SLUA271 (www.ti.com/lit/sluea271).
5. Vias are optional depending on application, refer to device data sheet. If any vias are implemented, refer to their locations shown on this view. It is recommended that vias under paste be filled, plugged or tented.

EXAMPLE STENCIL DESIGN

RGT0016C

VQFN - 1 mm max height

PLASTIC QUAD FLATPACK - NO LEAD



SOLDER PASTE EXAMPLE
BASED ON 0.125 mm THICK STENCIL

EXPOSED PAD 17:
85% PRINTED SOLDER COVERAGE BY AREA UNDER PACKAGE
SCALE:25X

4222419/E 07/2025

NOTES: (continued)

6. Laser cutting apertures with trapezoidal walls and rounded corners may offer better paste release. IPC-7525 may have alternate design recommendations.

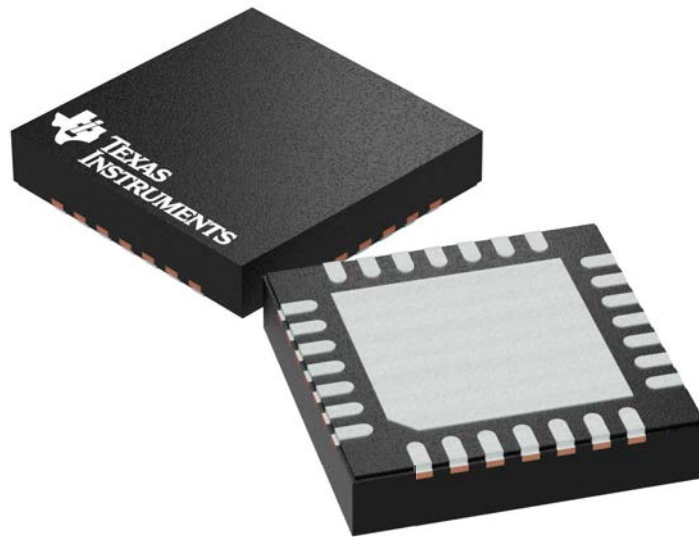
GENERIC PACKAGE VIEW

RHD 28

VQFN - 1 mm max height

5 x 5 mm, 0.5 mm pitch

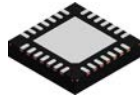
PLASTIC QUAD FLATPACK - NO LEAD



Images above are just a representation of the package family, actual package may vary.
Refer to the product data sheet for package details.

4204400/G

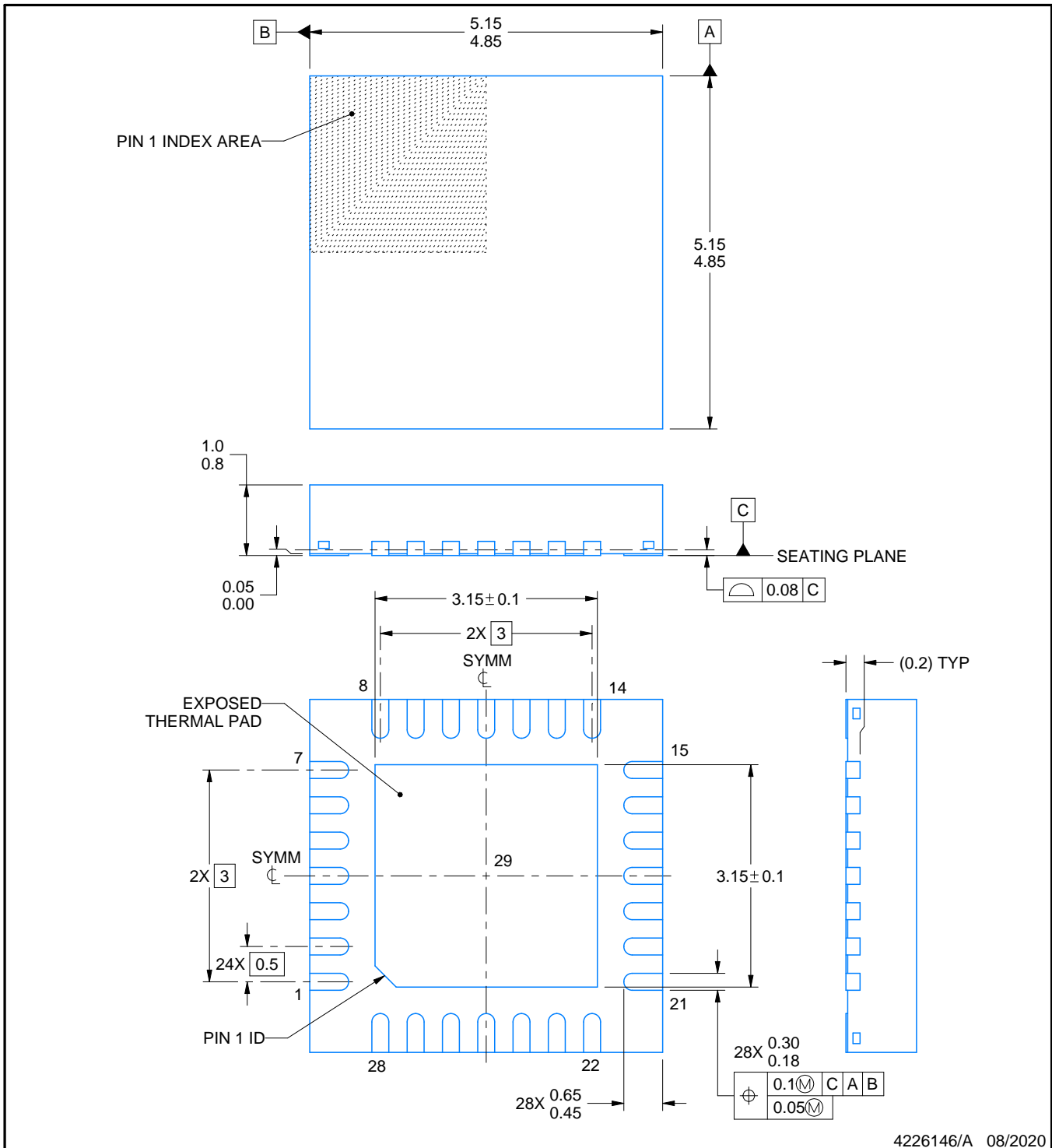
RHD0028B



PACKAGE OUTLINE

VQFN - 1 mm max height

PLASTIC QUAD FLATPACK - NO LEAD



NOTES:

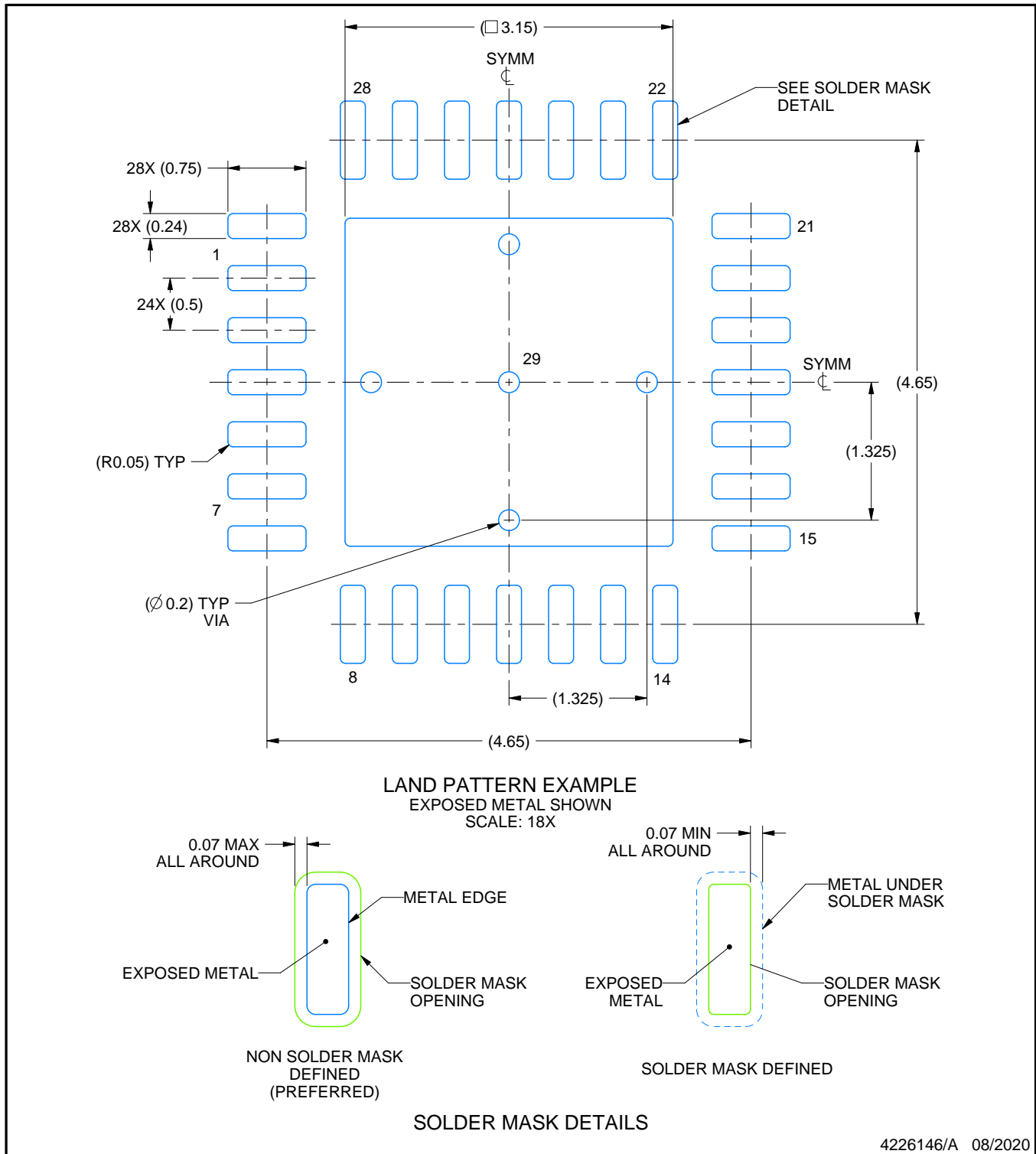
1. All linear dimensions are in millimeters. Any dimensions in parenthesis are for reference only. Dimensioning and tolerancing per ASME Y14.5M.
2. This drawing is subject to change without notice.
3. The package thermal pad must be soldered to the printed circuit board for thermal and mechanical performance.

EXAMPLE BOARD LAYOUT

RHD0028B

VQFN - 1 mm max height

PLASTIC QUAD FLATPACK - NO LEAD



4226146/A 08/2020

NOTES: (continued)

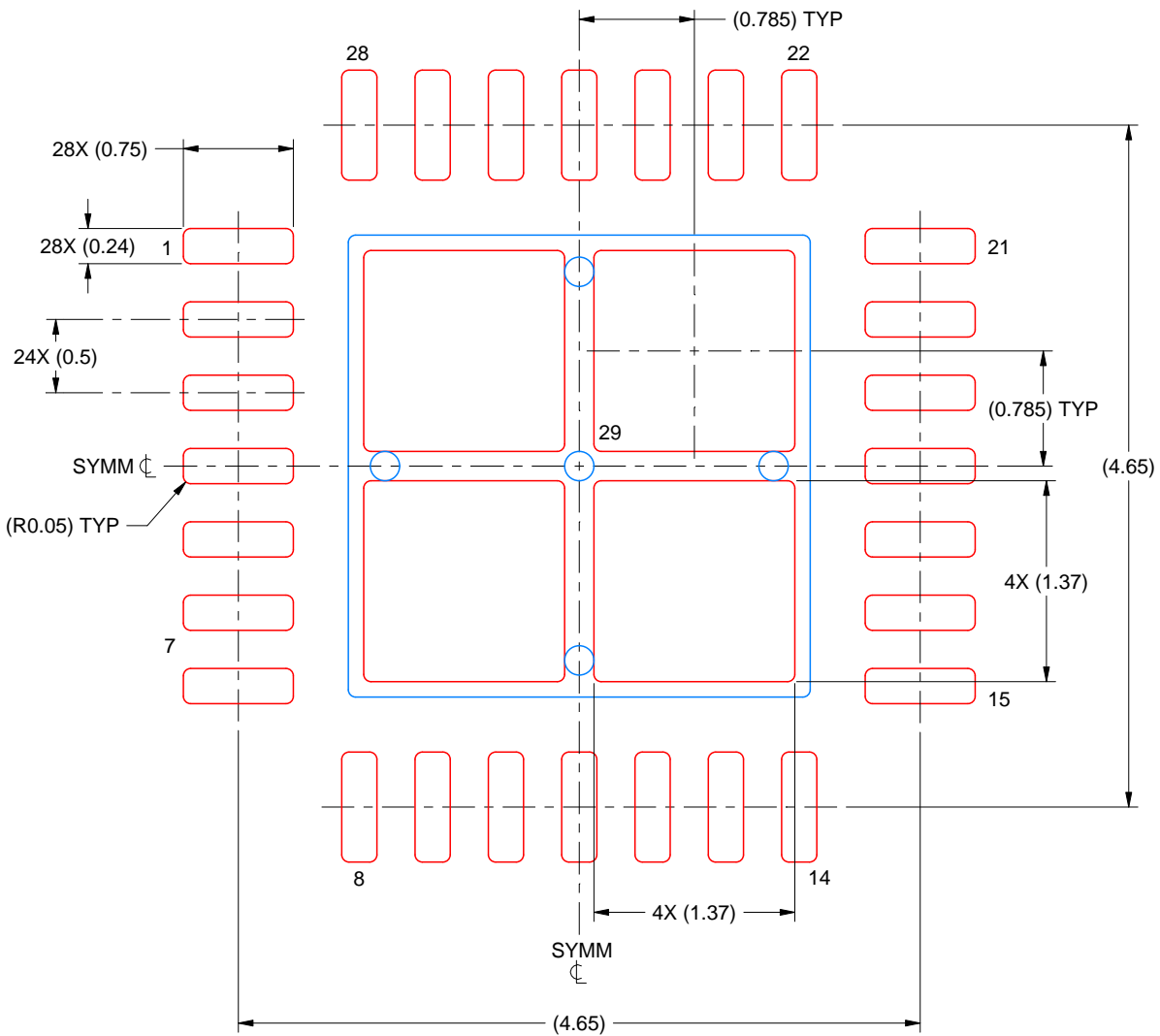
4. This package is designed to be soldered to a thermal pad on the board. For more information, see Texas Instruments literature number SLUA271 (www.ti.com/lit/slua271).
5. Vias are optional depending on application, refer to device data sheet. If any vias are implemented, refer to their locations shown on this view. It is recommended that vias under paste be filled, plugged or tented.

EXAMPLE STENCIL DESIGN

RHD0028B

VQFN - 1 mm max height

PLASTIC QUAD FLATPACK - NO LEAD



SOLDER PASTE EXAMPLE
BASED ON 0.125 MM THICK STENCIL
SCALE: 20X

EXPOSED PAD 29
76% PRINTED SOLDER COVERAGE BY AREA UNDER PACKAGE

4226146/A 08/2020

NOTES: (continued)

6. Laser cutting apertures with trapezoidal walls and rounded corners may offer better paste release. IPC-7525 may have alternate design recommendations.

重要通知和免责声明

TI“按原样”提供技术和可靠性数据（包括数据表）、设计资源（包括参考设计）、应用或其他设计建议、网络工具、安全信息和其他资源，不保证没有瑕疵且不做任何明示或暗示的担保，包括但不限于对适销性、与某特定用途的适用性或不侵犯任何第三方知识产权的暗示担保。

这些资源可供使用 TI 产品进行设计的熟练开发人员使用。您将自行承担以下全部责任：(1) 针对您的应用选择合适的 TI 产品，(2) 设计、验证并测试您的应用，(3) 确保您的应用满足相应标准以及任何其他安全、安保法规或其他要求。

这些资源如有变更，恕不另行通知。TI 授权您仅可将这些资源用于研发本资源所述的 TI 产品的相关应用。严禁以其他方式对这些资源进行复制或展示。您无权使用任何其他 TI 知识产权或任何第三方知识产权。对于因您对这些资源的使用而对 TI 及其代表造成的任何索赔、损害、成本、损失和债务，您将全额赔偿，TI 对此概不负责。

TI 提供的产品受 [TI 销售条款](#)、[TI 通用质量指南](#) 或 [ti.com](#) 上其他适用条款或 TI 产品随附的其他适用条款的约束。TI 提供这些资源并不会扩展或以其他方式更改 TI 针对 TI 产品发布的适用的担保或担保免责声明。除非德州仪器 (TI) 明确将某产品指定为定制产品或客户特定产品，否则其产品均为按确定价格收入目录的标准通用器件。

TI 反对并拒绝您可能提出的任何其他或不同的条款。

版权所有 © 2026，德州仪器 (TI) 公司

最后更新日期：2025 年 10 月